

# 지오그리드의 시공 시 손상 및 크리프 변형의 복합효과 평가

## Assessment of Combined Effects of Installation Damage and Creep Deformation of Geogrids

조 삼 덕<sup>1</sup> Cho, Sam-Deok

이 광 우<sup>2</sup> Lee, Kwang-Wu

오 세 용<sup>3</sup> Oh, Se-Yong

이 도 희<sup>4</sup> Lee, Do-Hee

### Abstract

A series of installation damage tests and creep tests are performed to assess the combined effect of installation damage and creep deformation for the long-term design strength of geogrid reinforcement. Three types of geogrids are used to investigate the influence of the geogrid types. From the experimental results, it is shown that installation damage and creep deformation of geogrids significantly depends on the polymer types of the geogrids and the larger the installation damage, the more the combined effect of installation damage and creep deformation. In addition, The results of this study show that the tensile strength reduction factor, RF, considering the combined effect between installation damage and creep deformation is less than that calculated by the current design practice which calculates the long-term design strength of geogrids damaged during installation by multiplying two partial safety factors,  $RF_{ID}$  and  $RF_{CR}$ .

### 요    지

시공 시 손상 및 크리프 변형의 복합효과가 지오그리드의 장기설계인장강도에 미치는 영향을 평가하기 위하여, 세 종류의 지오그리드를 대상으로 일련의 현장 내시공성시험 및 크리프시험을 수행하였다. 연구결과, 지오그리드의 시공시 손상 및 크리프 변형 특성은 지오그리드의 재질 및 제조방법에 크게 영향을 받으며, 시공 중 지오그리드의 인장강도감소가 클수록, 시공 시 손상과 크리프 변형의 복합효과가 미치는 영향이 더 큰 것으로 나타났다. 또한 지오그리드의 인장강도 감소계수를 영향인자별로 각각 산정하여 장기설계인장강도를 평가하도록 되어 있는 현행 설계법은, 지오그리드의 시공 시 손상과 크리프 변형의 복합효과를 고려하여 강도감소계수를 산정하는 방법에 비해 지오그리드의 강도감소계수를 안전측으로 산정하는 것으로 평가되었다.

**Keywords :** Creep deformation, Geogrid, Installation damage, Wide width tensile test

### 1. 서 론

1979년 영국에서 개발된 지오그리드는 우수한 강도 특성과 현장 적용성으로 인해 연약지반 보강, 성토사면

보강, 보강토 옹벽 등 다양한 토목현장에서 보강재로서 폭넓게 활용되고 있다. 그러나 이러한 용도로 영구 토목구조물에 적용된 지오그리드에 대한 현장 적용기간이 그다지 길지 않기 때문에 장기간 현장에 적용된

1 정회원, 한국건설기술연구원 지반연구부 수석연구원 (Member, Research Fellow, Geotechnical Eng. Research Dept., KICT)

2 정회원, 한국건설기술연구원 지반연구부 연구원 (Member, Researcher, Geotechnical Eng. Research Dept., KICT, kwangwu@kict.re.kr)

3 정회원, 한국건설기술연구원 지반연구부 연구원 (Member, Researcher Geotechnical Eng. Research Dept., KICT)

4 대우건설 경의선 전동차 사무소 현장 소장 (Director, DAEWOO E&C)

지오그리드 보강재의 내구성에 관해서는 아직까지 불확실성이 존재하고 있다. 시간경과에 따른 지오그리드 보강재의 공학적 특성(특히 인장강도) 저하는 시공 시 손상(installation damage), 크리프 변형(creep deformation), 온도, 화학용액, 미생물 등과 같은 요인에 의해 영향을 받으며, 특히 시공 시 손상과 크리프 변형에 의한 영향이 가장 크다. 따라서 지오그리드의 시공 시 손상 및 크리프 변형 특성을 평가하기 위한 연구가 국내외에서 활발히 수행되고 있다(Austin, 1997; Cazzuffi et al., 2001; Watn and Chew, 2002; Jeon et al., 2002; Kaliakin & Dechasakulsom, 2002; Sawicki, 1999).

현행 보강토구조물 설계법에서는 지오그리드 보강재의 장기설계인장강도 산정시 지오그리드의 장기간 안정에 영향을 줄 수 있는 여러 인자들에 대한 인장강도 감소계수를 안전율 개념으로 반영하고 있다. 그러나 이들 인장강도 감소계수를 영향인자별로 각각 산정하고 있는 실정이어서 각 영향인자 상호간의 복합효과를 반영하지 못하고 있으며, 이는 비경제적인 설계의 원인이 되고 있다. 따라서 최근 토목섬유 보강재의 장기설계인장강도에 크게 영향을 미치는 크리프 변형과 시공 시 손상의 복합효과를 규명하기 위한 실험적 연구가 시도되고 있다. Pinho-Lopes et al.(2002)와 Greenwood(2002)는 지오그리드 등의 토목섬유 보강재에 대한 일련의 실험적 연구를 통해, 시공성 강도감소계수( $RF_{ID}$ )와 크리프 강도감소계수( $RF_{CR}$ )의 곱으로 산정되는 현행 설계법상의 장기설계인장강도 감소계수는 이들 두 영향인자의 복합효과를 고려한 인장강도 감소계수를 다소 과대평가함을 확인하였다. 그러나 이러한 복합효과는 보강재의 종류 및 시공조건에 따라 그 영향 정도가 달라질 수 있다. 따라서 본 연구에서는 현재 국내에서 보강토구조물 축조시 많이 사용되고 있는 세 종류의 지오그리드를 대상으로 국내의 보강토구조물 시공조건을 고려한 일련의 현장 내시공성시험 및 크리프시험을 수행하여 지오그리드의 장기설계인장강도에 미치는 시공 시 손상과 크리프 변형의 복합효과를 평가하고자 한다.

## 2. 지오그리드의 장기설계인장강도 산정법

일반적으로 토목섬유 보강재의 인장 변형 특성은 크리프 변형, 시공 시 손상, 온도, 화학용액, 미생물 등과 같은 환경적인 요인에 의해 영향을 받는다. 따라서 보강재의 장기 설계인장강도 산정을 위해서는 보강재의 허

용인장변형과 크리프 변형특성, 시공 시 손상 등 가능한 모든 강도저하요인을 고려하여야 한다. 실제 대부분의 설계법(FHWA, BS8006 등)에서는 보강재의 장기간 안정에 영향을 줄 수 있는 여러 인자들을 반영하고 있다.

보강재의 장기설계인장강도 산정방법으로는 일반적으로 보강재의 장기간 안정에 영향을 줄 수 있는 여러 인자들에 대한 보강재의 인장강도 감소계수를 적용하는 방법이 주로 사용되고 있다. 토목섬유 보강재의 장기설계인장강도,  $T_d$ 는 식 (1)과 같이 나타낼 수 있다(FHWA, 1996).

$$T_d = \frac{T_{ult}}{RF \cdot FS_{uc}} \quad (1)$$

여기서,  $T_{ult}$  = 보강재의 최대(극한) 인장강도

$RF$  = 보강재의 장기간 강도손실을 고려한 총 인장강도 감소계수

$$(RF = RF_{ID} \times RF_{CR} \times RF_D)$$

$RF_{ID}$  = 시공성 감소계수. 시공 중 보강재의 손상에 따른 인장강도 손실정도를 나타냄.

$RF_{CR}$  = 크리프 감소계수. 실내 크리프시험에서 얻은 보강재의 크리프 한계인장강도에 대한 최대인장강도의 비

$RF_D$  = 내구성 감소계수. 화학약품, 미생물, 온도 등에 의한 보강재의 인장강도 손실정도를 나타냄.

$FS_{uc}$  = 구조물의 형상과 뒤채움재의 특성, 외부 작용하중 등의 불확실성 및 구조물의 중요도 등을 고려한 안전율로 설계자의 판단에 의해 1.0~1.5의 범위에서 사용하는 것이 추천되지만, 특별한 경우를 제외하고는  $FS_{uc} = 1.0$ 을 사용.

한편, 미국 GRI-GG4(1995) 방법에 의하면, 식 (1)에 나타난 보강재의 인장강도 감소계수  $RF$ 는 식 (2)에 나타낸 바와 같이 보강재의 최대 인장강도에 대한 각 영향인자를 고려한 인장강도의 비로부터 산정할 수 있다.

$$RF_{ID} = \frac{T_{ult}}{T_{ID}} \quad (2-a)$$

$$RF_{CR} = \frac{T_{ult}}{T_{10}} \quad (2-b)$$

$$RF_{CD} = \frac{T_{ult}}{T_{CD}} \quad (2-c)$$

$$RF_{BD} = \frac{T_{ult}}{T_{BD}} \quad (2-d)$$

여기서,  $T_{ult}$  = 보강재의 최대(극한) 인장강도(t/m)  
 $T_{ID}$  = 다짐시공 등에 의해 손상된 보강재의  
 인장강도(t/m)  
 $T_{10}$  = 시간-크리프 변형률 곡선에서 10% 이  
 하의 크리프 변형률에 접근하게 되는  
 최대 재하하중을 고려한 인장강도(t/m)  
 $T_{CD}$  = 화학약품에 의해 손상된 보강재의 인장  
 강도(t/m)  
 $T_{BD}$  = 미생물에 의해 손상된 보강재의 인장강  
 도(t/m)

### 3. 실험내용 및 방법

지오그리드 보강재의 장기설계인장강도 산정에 미치는 지오그리드의 시공 시 손상 및 크리프 변형 특성의 복합적인 영향을 실험적 연구를 통해 평가하고자 한다. 이를 위해 우선 현장 내시공성시험을 수행하여 현재 국내 보강토 분야에서 많이 사용되고 있는 지오그리드 3 종류의 시공 시 강도감소 정도를 평가하였고, 일련의 크리프시험 수행 및 결과 분석을 통해 크리프 변형 특성을

평가하였다. 또한 시공 시 손상된 지오그리드에 대한 크리프시험을 수행하여 지오그리드의 장기설계인장강도 산정에 미치는 시공 시 손상과 크리프 변형의 복합효과를 평가하였다.

#### 3.1 사용 재료

본 연구에서는 지오그리드의 재질, 제조방법 및 인장강도가 내시공성 및 크리프 특성에 미치는 영향을 평가하기 위하여, 재질 및 제조방식이 상이한 두 가지 형태(A형 및 B형)의 지오그리드 3종류(표 1 참조)를 실험재료로 선정하였다. 본 지오그리드 보강재 원시료의 인장강도 및 변형 특성을 평가하기 위하여 사진 1에 나타낸 바와 같이 광폭인장강도시험(EN ISO 10319)을 수행하였다. 지오그리드의 종류와 광폭인장강도시험 결과는 표 1에 나타내었다. 표 1에서 알 수 있는 바와 같이 선정된 지오그리드 시료는 고강도 폴리에스터(polyester)사를 사용하여 Weft Insertion Warp Knit법으로 격자모양의 원단을 만든 후 PVC로 코팅하여 제조한 결합형 지오그리드 1종과 고밀도 폴리에틸렌(high density polyethylene)을 열연신하여 제작한 일체형 지오그리드 2종이다.

한편, 현장 내시공성시험시 흙종류의 영향을 고찰하기 위해 문산시 인근의 화강풍화토를 대상으로 자체 제

표 1. 지오그리드 시료의 종류 및 광폭인장강도시험 결과

지오그리드	재질 및 제조 방법	광폭인장강도시험 결과	
		인장강도(kN/m)	인장변형률(%)
A	WIWK PET geogrid coated with PVC	104.1	13.6
B-1		82.3	12.1
B-2	Extruded HDPE geogrid	100.5	12.0

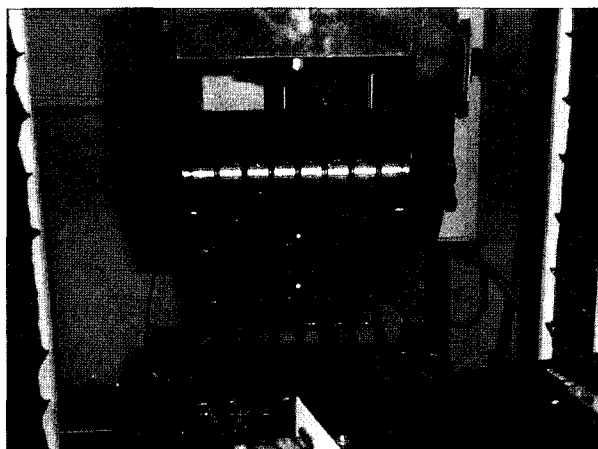


사진 1. 지오그리드 시료에 대한 광폭인장강도시험

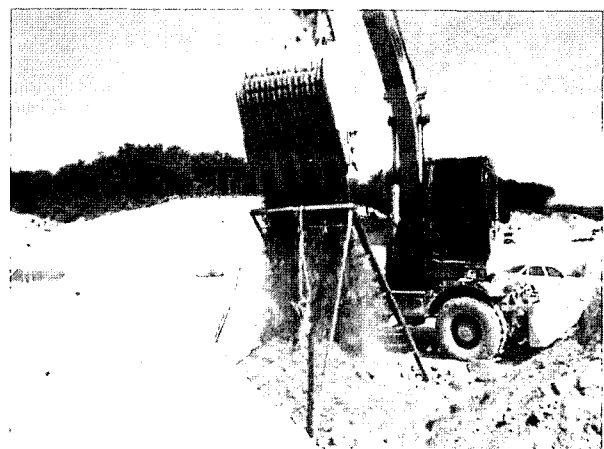


사진 2. 성토재 입도조정을 위한 체가를

표 2. 화강풍화토 시료의 입도분포와 현장다짐밀도

최대입경 80mm	입도분포 (%)	자갈 모래 실트·점토	43.3 53.1 3.6	현장다짐밀도 (kN/m <sup>3</sup> )	18.7
		흙 분류(통일분류법)	SW	상대다짐(%)	99

작한 대형 체가름장치( $1.4m \times 2m$ , 사진 1 참조)를 이용하여 체가름한 최대입경 80mm의 화강풍화토와 25mm 쇠석을 다짐작업시에 성토재로 사용하였다.

현장 체가름을 통해 입도가 조정된 화강풍화토 흙시료에 대한 체분석시험과 다짐시험(D다짐)을 수행한 결과, 본 흙시료는 통일분류법상 SW(입도분포가 양호한 모래)로 분류되며, 최대 건조밀도 및 최적 함수비는  $19.0\text{kN/m}^3$  및 11.1%인 것으로 나타났다. 표 2에는 화강풍화토 흙시료의 입도분포 비율과 현장 다짐밀도를 나타내었다. 표 2에서 알 수 있는 바와 같이 입도 조정된 흙시료의 상대다짐은 95% 이상이다.

### 3.2 현장 내시공성 평가

#### 3.2.1 내시공성 시험법

토목섬유 보강재의 내시공성은 보강재, 뒤채움흙 등 사용재료의 종류와 시공방법에 영향을 받는다. 보강토 구조물에 대한 해외의 여러 지침에서는 토목섬유 보강재의 내시공성을 통상 일련의 실내 및 현장 실험을 통해 평가하도록 하고 있다. 한 예로 FHWA(1996)에 의하면, 시공성 감소계수는 ASTM D 5818(1995)에서 규정하고 있는 현장실험을 통해 결정하도록 하고 있으며, 토목섬유 보강재의 내시공성 감소계수는 통상 1.1~2.0의 범위를 가지는 것으로 나타나 있다. 그러나 국내에서는 토목섬유의 내시공성 평가와 관련하여 아직 명확하게 규정된 바가 없다.

내시공성시험 방법은 통상 그림 1에 나타낸 바와 같은 순서로 수행하게 된다. 일반적인 시험방법은 기초노상을 실제 구조물 축조시와 동일하게 처리한 후 규정면적의 지오그리드 시료를 포설하고, 그 상부에 성토재를 포설한 후 실제 구조물 축조시와 동일하게 다짐한다. 다짐 완료후에는 다짐된 상부 흙을 비기계적인 방법으로 지오그리드에 손상이 가지 않도록 제거하여 지오그리드 시료를 추출하고, 추출된 시료에 대한 인장시험을 수행하여 원시료의 인장강도와 비교한다.

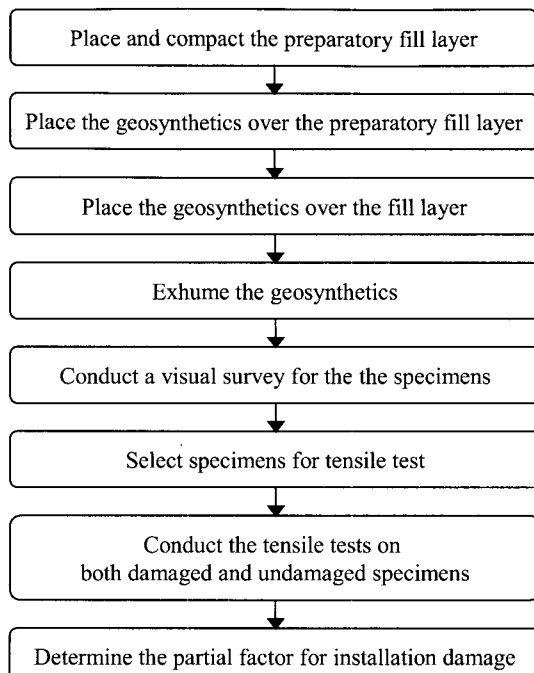
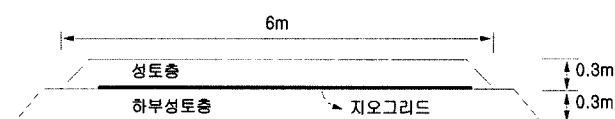


그림 1. 일반적인 내시공성 시험 절차

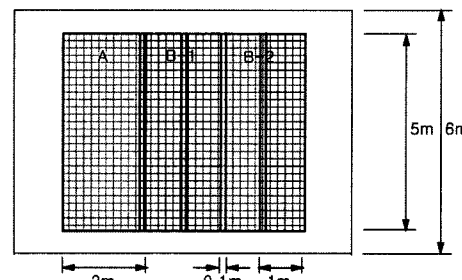
#### 3.2.2 현장 내시공성시험 절차

국내의 경우 지오그리드의 내시공성을 평가하기 위한 시험법이 아직 규정되어 있지 않은 관계로, 본 연구에서는 내시공성시험에 대한 해외의 여러 시험법들을 비교·검토하여 다음과 같이 현장 내시공성 시험을 수행하였다. 현장 내시공성시험 단면은 그림 2와 같다. 본 연구에서는 3종류의 지오그리드를 대상으로 현장에서 내시공성시험을 수행하였다.

본 실험에서는 먼저 비교적 견고한 원지반을 정지한 후, 백호우로 성토재를 대략 40cm 두께로 깔고 정지한



(a) 내시공성 시험 현장 종단면도



(b) 지오그리드의 배치

그림 2. 내시공성시험 현장 단면도

다음, 국내에서 보강토구조물 시공 시 다짐장비로 주로 사용되고 있는 10ton 진동로울러로 다짐을 실시하였다. 그리고 지오그리드를 다짐방향과 직각이 되도록 포설하고 그 위에 성토재를 40cm 정도 두께로 포설한 후 진동로울러를 사용하여 무진동으로 1회 및 진동으로 4회 다짐을 실시하였다. 하부성토층과 성토층의 다짐작업 완료후 성토높이는 그림 2(a)에 나타낸 바와 같이 대략 30cm가 되도록 하였고, 현장 들밀도시험을 수행하여 성토층의 상대다짐도(95% 이상)를 확인하였다. 다짐 후, 지오그리드가 손상되지 않도록 백호우와 인력으로 조심스럽게 성토재를 제거하고 지오그리드 시료를 추출하였다. 추출된 지오그리드 시료에 대해 시공 시의 손상 정도를 육안으로 자세히 조사하여 기록하고, 인장강도 시험을 위한 시편(크기 : 0.2m× 1.4m)을 각각 7개 이상 채취하여 광폭인장강도시험(ISO 10319)을 수행하였다.

### 3.3 크리프시험 방법

크리프시험(unconfined tension creep test)은 일정한 온도조건에서 지속적인 인장하중이 작용할 때 지오그리드의 불구속 인장 크리프 거동을 평가하여, 장기설계 인장강도 산정시 고려되는 크리프 변형에 의한 인장강도 감소계수를 결정하기 위해 수행한다. 일반적인 시험 방법은 크리프시험기에 장착되어 있는 상부 클램프와 하중재하장치가 붙어 있는 하부 클램프사이에 지오그리드 시료를 설치하고, 시료 중심부에 인장변형 측정장치(LVDT 등)를 설치한 후 하중을 재하하여 시간경과에 따른 인장변형을 측정한다.

본 연구에서는 270cm×250cm×105cm 크기의 강재 프레임(frame) 내에 4개의 시료를 동시에 시험할 수 있는 시험장치를 제작하여 크리프시험을 수행하였다. 본 시험장치는 2개의 항온실로 구성되어 각각 다른 온도조건에서 시험할 수 있도록 되어 있다. 크리프시험 시 시료의 크기는 폭 20cm, 길이 80cm로 하였으며, 시료 중심부 20cm 길이에 LVDT를 부착하여 시간경과에 따른 인장변형을 자동으로 측정하였다. 사진 3은 크리프시험기 전경이다.

현장 내시공성시험 수행 전의 지오그리드 원시료와 성토층 다짐시공에 의해 손상을 입은 지오그리드 시료를 대상으로 일련의 크리프시험을 수행하였다. 크리프시험은 지오그리드의 소재에 따라 두 가지 방법으로 수행하였다.



사진 3. 크리프시험기 전경

PET(polyester)로 제조된 A형 지오그리드에 대해서는 ASTM D 5262-02에 규정되어 있는 시험법을 기준으로 하여 20°C, 35°C 및 50°C 온도에서 최대 1,000시간 동안 크리프시험을 수행하였으며, 크리프 하중으로는 표 1에 나타낸 원시료의 광폭인장강도를 기준으로 50% 및 60%의 하중을 사용하였다. 단기간의 실험결과를 통해 보다 긴 시간에서의 예측치를 얻기 위해 Boltzman이 제시한 시간-온도 중첩원리를 이용하였다(Vinogradov & Malkin, 1980; Takaku, 1980).

장기간 후의 크리프 변형을 평가하기 위해 온도조건을 변화시키면서 크리프시험을 수행한 A형 지오그리드와는 달리 고밀도 폴리에틸렌(HDPE)으로 제조된 B형 지오그리드는 온도변화에 매우 민감한 크리프 변형 특성을 가지는 것으로 알려져 있어, B형 지오그리드의 경우 일정 온도조건에서 하중조건을 변화시키는 PWRC(2000)의 크리프 시험 및 분석 방법이 온도조건으로 변화시키는 방법에 비해 보다 적합한 것으로 사료된다. 따라서 B형 지오그리드에 대해서는 PWRC(2000)에서 제시한 크리프시험 방법을 토대로 하여 20°C 온도에서 5종류 이상의 재하하중별로 최대 1,000시간 동안 단기 크리프시험을 수행하였으며, 하중재하 후 시간경과에 따른 크리프 인장변형률을 측정하여 지오그리드의 크리프 하중을 평가하였다.

## 4. 결과 및 고찰

### 4.1 현장 내시공성시험에 의한 손상

현장 내시공성시험 후, 다짐작업으로 인한 지오그리드

표면의 손상정도를 평가하고 광폭인장강도시험에 사용할 시편을 채취하기 위하여, 추출된 지오그리드에 대한 육안관찰을 수행하였다. 일반적으로 육안관찰시 지오그리드의 시공 중 손상정도는 벗겨짐(general abrasion), 짓눌림(bruise), 찢김(split) 혹은 절단됨(cut)으로 구분하여 기록한다(Austin, 1997). 본 내시공성시험 후 추출한 지오그리드를 물로 깨끗이 씻은 다음 육안관찰한 결과, 대부분의 손상은 지오그리드 표면부의 벗겨짐 혹은 짓눌림인 것으로 나타났다. 다만, 상대적으로 강성이 작은 결합형 PET 지오그리드 시료의 경우에는 리브의 일부가 절단된 상태가 다소 발견되었다. 육안관찰결과를 토대로 광폭인장강도시험 및 크리프시험에 사용할 시편을 추출하였다. 즉, 부분적인 리브의 절단 등 손상정도가 매우 큰 경우는 보강사의 손상이 심하여 광폭인장강도시험에 사실상 어려울 뿐만 아니라 내시공성시험에 사용된 전체 시료 중에서 차지하는 비중도 극히 미소하기 때문에 시편으로 사용하지 않았으며, 보강사의 손상정도가 미약한 경우는 시험결과가 너무 안전측이 될 우려가 있을 것으로 판단되어 시편으로 사용하지 않았다. 따라서 “짓눌림”에 해당하는 부분 중 비교적 손상정도가 큰 것으로 판단되는 상태를 보이는 부분을 20cm×140cm(경사방향×위사방향) 크기로 재단하여 시편으로 사용하였다.

내시공성시험 후에 추출한 지오그리드 시료에 대한 광폭인장강도 시험결과를 표 3에 나타내었다. 표 3에서

$T_{dam}$  및  $\varepsilon_{dam}$ 는 최대광폭인장강도 및 최대인장변형률의 평균값이고, R(인장강도감소율)은 성토층 다짐으로 인한 지오그리드의 인장강도 감소정도를 나타낸다. 한편, 지오그리드의 장기설계인장강도 계산시 요구되는 시공성 강도감소계수  $RF_{ID}$ 와 크리프 강도감소 계수  $RF_{CR}$ 는 각각 식 (2-a)와 식 (2-b)에 나타낸 바와 같이 최대인장강도를 각 영향인자를 고려한 인장강도로 나눔으로써 산정된다.

표 3에서, 성토층 다짐으로 인한 지오그리드의 인장강도감소는 최대인장변형률의 감소(표 1 참조)와 함께 발생하며, 성토재 종류가 동일한 경우 A형 지오그리드의 시공 중 강도감소가 더 큼을 알 수 있다.

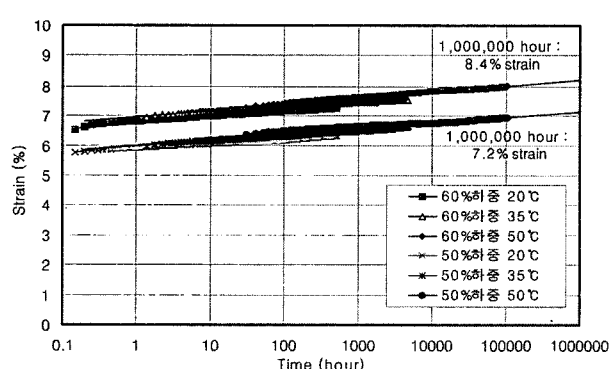
## 4.2 크리프 변형 특성

### 4.2.1 지오그리드 A

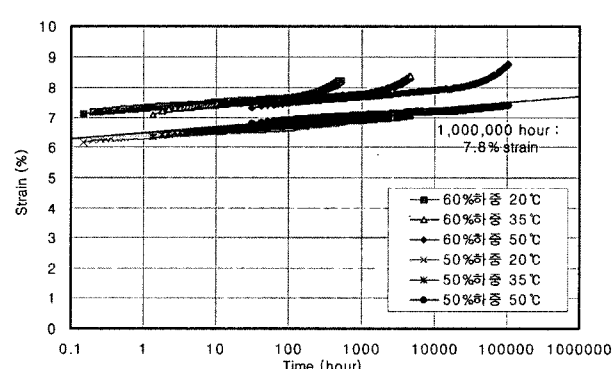
온도에 따른 이동인자(shift factor)를 산정하여 속성 조건에서 실시한 시험결과를 시간축으로 이동시킴으로써 장시간 후의 크리프 하중을 평가하는 시간-온도 중첩 원리를 사용하여 지오그리드 A의 크리프 변형특성을 평가하였다. 본 지오그리드 A의 온도에 따른 이동인자(shift factor)는 20°C, 35°C 및 50°C에서 각각 0, -0.953 및 -2.310로 산정되었다. 산정된 이동인자를 고려한 크리프시험결과는 그림 3과 같다. 그림 3에서 알 수 있는

표 3. 내시공성시험후 손상된 시료에 대한 광폭인장강도 시험 결과

성토재 종류	지오그리드 A				지오그리드 B-1				지오그리드 B-2			
	$T_{dam}$ (kN/m)	$\varepsilon_{dam}$ (%)	R (%)	$RF_{ID}$	$T_{dam}$ (kN/m)	$\varepsilon_{dam}$ (%)	R (%)	$RF_{ID}$	$T_{dam}$ (kN/m)	$\varepsilon_{dam}$ (%)	R (%)	$RF_{ID}$
화강풍화토 (최대입경 80mm)	-	-	-	-	80.0	11.7	2.8	1.03	95.8	11.8	4.7	1.05
25mm 쇄석	83.4	11.9	20.0	1.25	78.5	11.7	4.7	1.05	-	-	-	-



(a) 원시료



(b) 손상된 시료

그림 3. 지오그리드 A의 시간-크리프 변형률 곡선

바와 같이 원시료의 경우 광폭하중의 50% 및 60% 하중에 대하여 1,000,000시간 이후의 장기 크리프 변형이 각각 7.2% 및 8.4%로 나타나 10%의 변형률을 벗어나지 않는 안정한 크리프 변형특성을 가지는 것으로 평가되었다. 반면에 내시공성시험 후 손상된 시료는, 50% 하중에서는 1,000,000시간 이후의 장기 크리프 변형이 7.8%로 평가되어 안정한 크리프 변형특성을 가지나, 60% 하중에 대해서는 크리프 변형률 거동이 시간경과에 따라 수렴하는 안정적인 거동을 보이지 않는 것으로 나타나, 적정 크리프 하중은 광폭하중의 50%~60%의 사이에 존재함을 알 수 있다.

#### 4.2.2 지오그리드 B-1 및 지오그리드 B-2

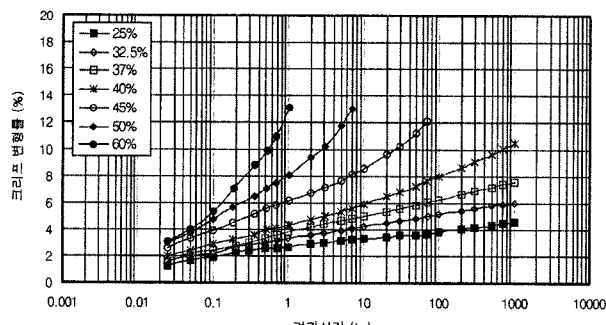
PWRC(2000)에서 제안한 크리프 하중 평가방법은, 지오그리드 최대인장강도의 10%~90% 범위에서 5종류 이상의 하중을 재하하여 시간경과에 따른 크리프 변형률을 측정한 후, 재하하중별 경과시간-크리프 변형률 관계곡선(그림 4(a)), 동시하중(等時荷重)-크리프 변형률 관계곡선(그림 4(b)), 한계 크리프 변형률에 대한 경과시간-크리프 하중 관계곡선(그림 4(c))을 순차적으로 도시함으로써 지오그리드가 사용되는 구조물의 내구년수를 고려한 지오그리드의 크리프 하중을 예측할 수 있다. 또한 예측

된 크리프 하중에 대한 검증을 위해 하중비(荷重比)-크리프 변형 증가율 곡선(그림 4(d))을 도시하여 크리프 변형률이 급증하게 되는 재하하중 수준과 비교/평가하도록 하였다. 하중비-크리프 변형 증가율 곡선에서 하중비는 지오그리드의 최대인장강도에 대한 재하하중의 비율(%)이며, 크리프 변형 증가율은 식 (3)으로 구한다.

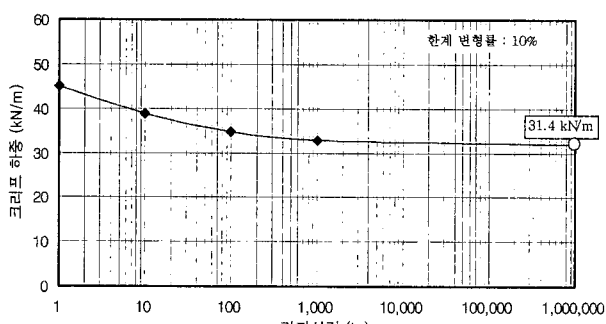
$$\text{크리프 변형 증가율} = \frac{\varepsilon(t_n) - \varepsilon(t_{n-1})}{\log_{10}t_n - \log_{10}t_{n-1}} (\%) \quad (3)$$

여기서,  $\varepsilon(t_n)$ 은 경과시간  $t_n$ 에서의 크리프 변형률(%)이다.

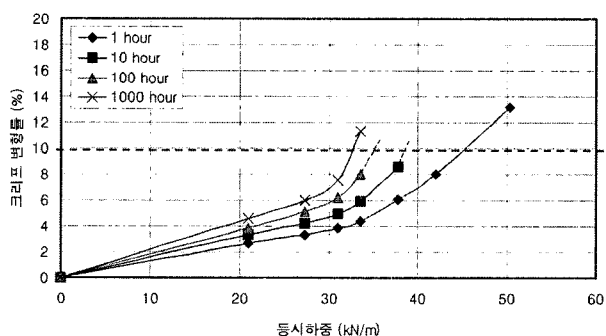
본 연구에서는 GRI-GG4 방법에 준하여 지오그리드의 한계 크리프 변형률을 10%로 하여 크리프 하중을 예측/평가하였다. 지오그리드 B-1 원시료에 대한 크리프 시험 결과를 토목연구센터 & 지오텍스타일 보강토공법 보급위원회에서 제안한 크리프 하중 평가방법을 이용해 나타내면 그림 4와 같다. 동일한 방법으로 분석한, 손상된 지오그리드 B-1 및 지오그리드 B-2에 대한 크리프시험결과를 표 4에 정리하였으며, 그림 5는 손상된 B형 지오그리드의 한계 크리프 변형률에 대한 경과시간-크리프 하중 곡선이다. 그림 5와 같이 예측된 크리프하중의 적정성은 그림 6에 나타낸 바와 같이 하중비-크리



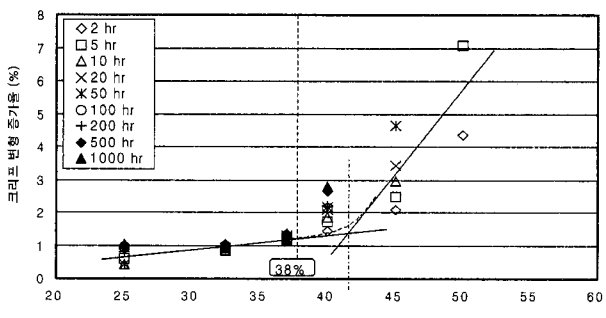
(a) 재하하중별 경과시간-크리프 변형률 곡선



(c) 한계 변형률(10%)에 대한 경과시간-크리프 하중 곡선



(b) 등시하중-크리프 변형률 곡선

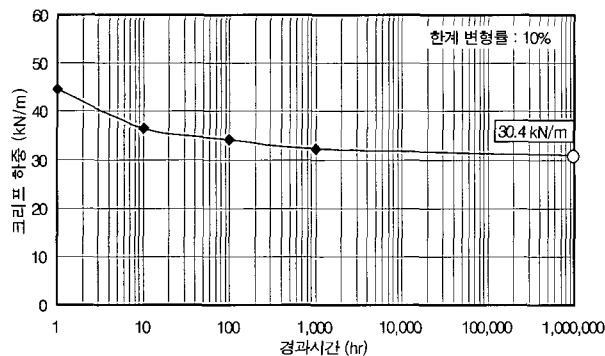


(d) 하중비-크리프 변형 증가율 곡선

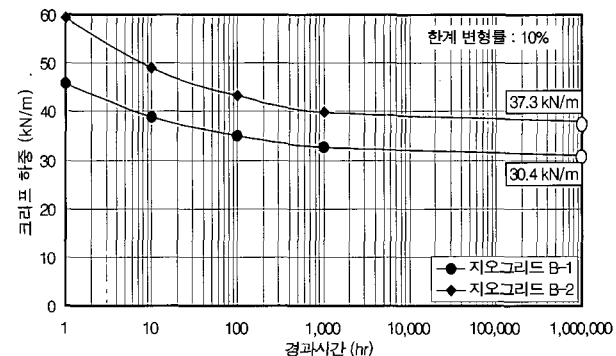
그림 4. 지오그리드 B-1 원시료의 크리프 하중 평가

표 4. 지오그리드 B-1 및 지오그리드 B-2의 크리프 하중 평가

구 분	지오그리드 B-1			지오그리드 B-2	
	원시료	손상된 시료 (화강풍화토)	손상된 시료 (쇄석)	원시료	손상된 시료 (화강풍화토)
1,000,000시간 경과시 크리프 하중(kN/m)	31.4	30.4	30.4	38.2	37.3
최대인장강도에 대한 크리프 하중의 비율(%)	38	37	37	38	37

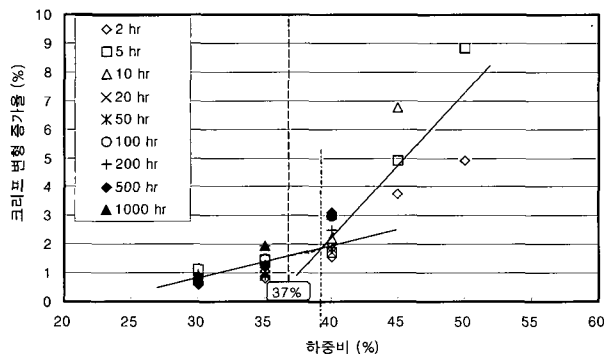


(a) 지오그리드 B-1(25mm 쇄석)

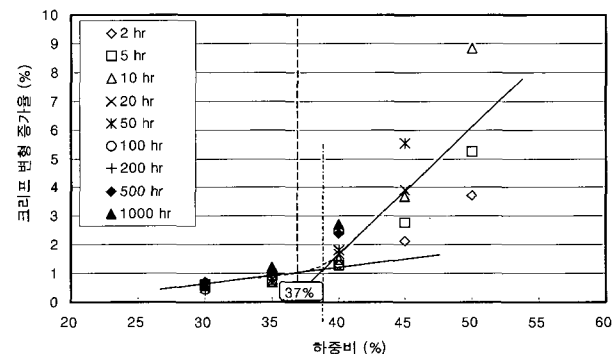


(b) 지오그리드 B-1 및 B-2(최대입경 80mm 화강풍화토)

그림 5. 손상된 지오그리드 B-1 및 B-2의 한계 변형률에 대한 경과시간-크리프 하중 곡선



(a) 지오그리드 B-1(25mm 쇄석)



(b) 지오그리드 B-1(최대입경 80mm 화강풍화토)

그림 6. 손상된 지오그리드 B-1의 경과시간별 하중비-크리프 변형 증가율 곡선

프 변형 증가율 곡선을 도시하여 검증하였다. 표 4에서 알 수 있는 바와 같이 시공 시 손상으로 인해 B형 지오그리드의 크리프 하중이 원시료에 비해 2.6%~3.1% 정도 감소하는 것으로 나타났다.

## 5. 시공 시 손상 및 크리프 변형의 복합효과 평가

내시공성 및 크리프 변형의 복합효과가 지오그리드의 장기 설계인장강도에 미치는 영향을 평가하기 위해, 현장 내시공성시험 및 크리프시험 결과에 대해 GRI-GG4 방법으로 지오그리드의 시공성 강도감소계수( $RF_{ID}$ )와 크리프 강도감소 계수( $RF_{CR}$ )를 산정하여 표 5에 나타내었다.

표 5에서 알 수 있는 바와 같이, 지오그리드 A의 경우 복합효과 고려시 인장강도 감소계수가 4.3%~20.1% 범위

내에서 감소하고, 지오그리드 B-1 및 지오그리드 B-2의 경우에는 0%~2.2% 감소하는 것으로 나타났다. B형 지오그리드의 경우 내시공성과 크리프 변형의 복합효과가 비교적 작게 평가된 원인은, 시공 중 강도감소가 상대적으로 작았기 때문인 것으로 판단된다. 결론적으로 본 연구를 통해 내시공성 및 크리프 변형 복합효과가 지오그리드의 장기 설계인장강도 산정에 미치는 영향은 시공 중 강도감소가 큰 경우에 더 크게 나타나고, 현행 설계법으로 산정된 지오그리드의 강도감소계수는 안전측임을 알 수 있다.

## 6. 결 론

현재 국내에서 보강토구조물 축조시 많이 사용되고 있는 지오그리드의 장기설계인장강도에 미치는 시공

표 5. 지오그리드의 강도감소계수(RF) 평가

성토재 종류	지오그리드 A			지오그리드 B-1			지오그리드 B-2		
	GRI-GG4		복합효과 고려시	GRI-GG4		복합효과 고려시	GRI-GG4		복합효과 고려시
	RF <sub>ID</sub>	RF <sub>CR</sub>		RF	RF <sub>ID</sub>	RF <sub>CR</sub>	RF <sub>ID</sub> × RF <sub>CR</sub>	RF	
화강풍화토 (최대입경 80mm)	-	-	-	-	1.03	2.63	2.71	2.71	1.05
25mm 쇄석	1.25	1.67	2.09	1.67~2.0	1.05	2.63	2.76	2.71	-

시 손상과 크리프 변형의 복합효과를 평가하기 위하여 일련의 현장 내시공성시험 및 크리프시험을 수행하였다. 연구결과 얻은 결론은 다음과 같다.

- (1) 최대입경 80mm 화강풍화토 및 25mm 쇄석 성토층의 다짐으로 인한 지오그리드의 인장강도감소는 최대인장변형률의 감소와 함께 발생하고, 육안관찰 결과 대부분의 손상은 지오그리드 표면부의 벗겨짐 혹은 짓눌림인 것으로 나타났다.
- (2) 지오그리드의 시공성 강도감소계수는 결합형 PET 지오그리드가 일체형 HDPE 지오그리드 보다 큰 반면에 크리프 강도감소계수는 일체형 HDPE 지오그리드의 경우가 50% 정도 큰 것으로 나타나, 지오그리드의 내시공성 및 크리프 변형 특성은 지오그리드의 재질 및 제조방법에 크게 영향을 받음을 알 수 있었다.
- (3) 내시공성과 크리프 변형 복합효과 고려시의 인장강도감소계수 감소율은 결합형 지오그리드(내시공성시험 후 인장강도감소율 20%)와 일체형 지오그리드(내시공성시험 후 인장강도감소율 2.8%~4.7%)에서 각각 4.3%~20.1% 범위내의 값과 0%~2.2%인 것으로 나타나, 내시공성과 크리프 변형의 복합효과가 지오그리드의 장기 설계인장강도 산정에 미치는 영향은 시공 중 강도감소가 큰 경우에 더 큼을 알 수 있었다.
- (4) 지오그리드의 장기 설계인장강도 산정시 필요한 인장강도 감소계수를 영향인자별로 각각 산정하고 있는 현행 설계법은 각 영향인자 상호간의 복합효과를 고려하여 강도감소계수를 산정하는 방법에 비해 지오그리드의 강도감소계수를 안전측으로 산정한다.

## 참 고 문 헌

1. PWRC (2000), ジオテキスタイルを用いた補強土の設計・施工マニュアル(改訂版), 日本 土木研究センター.
2. ASTM D 5818 (1995), Annual Book ASTM Standards. Standard Practices for Obtaining Samples of Geosynthetics from a Test

Section for Assessment of Installation Damage, American Society for Testing and Materials.

3. Austin, R.A. (1997), "The Effect of Installation Activities and Fire Exposure on Geogrid Performance", *Geotextiles and Geomembranes* 15, pp.367-376.
4. BS 8006 (1995), British Standard Institution. *Code of Practice for Strengthened/Reinforced Soils and other Fills*, British Standard Institution.
5. Cazzuffi, D., Mongiovi, L. & Torresendi, M. (2001), "Laboratory and Field tests for the Evaluation of Installation Damage of Geosynthetics in Reinforced Earth Structures", *15th ICSMGE*, Istanbul, pp.1565-1568.
6. EN ISO 10319 (1993), International Organization for Standardization. *Geotextiles: Wide-width tensile test*, International Organization for Standardization.
7. FHWA (1996), *Corrosion/Degradation of Soil Reinforcements for Mechanically Stabilized Earth Walls and Reinforced Soil Slopes*, FHWA Publication No. FHWA-SA-96-072, Federal Highway Administration, Washington, D.C.
8. Greenwood, J.H. (2002), "The Effect of Installation Damage on the Long-Term Design Strength of a Reinforcing Geosynthetic", *Geosynthetics International*, Vol.9, No.3, pp.247-258.
9. GRI (1995), *Determination of the Long-Term Design Strength of Flexible Geogrids*, GRI Test Methods GG4(b), Drexel University, USA.
10. Jeon, H.Y., Kim, S.H., & Yoo, H.K. (2002), "Assessment of long-term performances of polyester geogrids by accelerated creep test", *Polymer Testing* 21, pp.489-495.
11. Kaliakin, V.N. & Dechasakulsom, M. (2002), "Development of General Time-Dependent Model for Geogrids", *Geosynthetics International*, Vol.9, No.4, pp.319-344.
12. Pinho-Lopes, M., Recker, C., Lopes, M.L. & Müller-Rochholz, J. (2002), "Experimental Analysis of the Combined Effect of Installation Damage and Creep of Geosynthetics - New Results", *Geosynthetics-7th ICG-Delmas*, pp.1539-1544.
13. Sawicki, A. (1999), "Creep of Geosynthetic Reinforced Soil Retaining Walls", *Geotextiles and Geomembranes* 17, pp.51-65.
14. Takaku, A. (1980), "Effect of Temperature on Creep Fracture of Polypropylene Fibers", *Journal of Applied Polymer Science*, 25, pp.1861-1866.
15. Vinogradov, G.V. and Malkin, A.Ya. (1980), "Rheology of Polymers; Viscoelasticity and Flow of Polymers", Mir Publishers Moscow Springer-Verlag Berlin Heidelberg New York, pp.74-82.
16. Watn, A. and Chew, S.H. (2002), "Geosynthetic Damage - from Laboratory to Field", *Geosynthetics-7th ICG-Delmas*, pp.1203-1226.

(접수일자 2005. 5. 31, 심사완료일 2005. 7. 5)